

# 2入力と3入力による円軌道上のフォーメーション

2009SE191 長江 麻早 2009SE245 佐々木 健

指導教員：市川 朗

## 1 はじめに

衛星にはそれぞれの軌道があり、円軌道上の主衛星とその近傍の従衛星の相対運動の方程式は、時不変非線形微分方程式で与えられる。

原点で線形化した方程式は Hill-Clohesy-Wiltshire 方程式とよばれ、軌道面内の運動は楕円で表される周期解をもち、軌道面外の運動は単振動の方程式により表される。今回の研究では、衛星の軌道制御に関して、Hill-Clohesy-Wiltshire 方程式で求めた周期解に衛星を乗せるという制御を行った。

その際、3入力と2入力での制御し、2つの制御でどのくらいの違いが出るのかを比較する。

ここでの評価関数は燃料消費を表わす総速度変化とする。

## 2 相対運動の方程式

半径  $R_0$  の円軌道上の主衛星とその近傍の従衛星の相対運動を考えるため、主衛星の重心を原点とする図1の回転座標系  $o - \{i, j, k\}$  を考える。このとき相対位置ベクトル

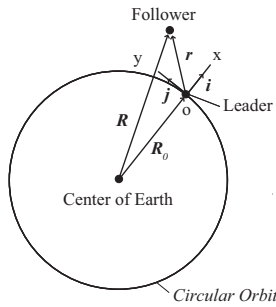


図1 円軌道上の主衛星

を  $r = xi + yj + zk$  とすると、運動方程式より [1]

$$\begin{aligned} \ddot{x} &= 2n\dot{y} + n^2(R_0 + x) - \frac{\mu}{R^3}(R_0 + x) + u_x \\ \ddot{y} &= -2n\dot{x} + n^2y - \frac{\mu}{R^3}y + u_y \\ \ddot{z} &= -\frac{\mu}{R^3}z + u_z \end{aligned} \quad (1)$$

が得られる。ここで  $[u_x \ u_y \ u_z]^T = \mathbf{u}$  は従衛星に働く推力、 $R = [(R_0 + x)^2 + y^2 + z^2]^{1/2}$  である。この方程式を原点  $x = y = z = 0$  で線形化すると

$$\begin{aligned} \ddot{x} - 2n\dot{y} - 3n^2x &= u_x \\ \ddot{y} + 2n\dot{x} &= u_y \\ \ddot{z} + n^2z &= u_z \end{aligned} \quad (2)$$

が得られる。この方程式は Hill-Clohesy-Wiltshire (HCW) 方程式とよばれる。(2)の状態方程式は

$$\dot{\mathbf{x}} = \mathbf{A}\mathbf{x} + \mathbf{B}\mathbf{u}, \quad \mathbf{x}(0) = \mathbf{x}_0 \quad (3)$$

ここで

$$\mathbf{A} = \begin{bmatrix} 0 & 0 & 1 & 0 & 0 & 0 \\ 0 & 0 & 0 & 1 & 0 & 0 \\ 3n^2 & 0 & 0 & 2n & 0 & 0 \\ 0 & 0 & -2n & 0 & 0 & 0 \\ 0 & 0 & 0 & 0 & 0 & 1 \\ 0 & 0 & 0 & 0 & -n^2 & 0 \end{bmatrix}, \quad \mathbf{B} = \begin{bmatrix} 0 & 0 & 0 \\ 0 & 0 & 0 \\ 1 & 0 & 0 \\ 0 & 1 & 0 \\ 0 & 0 & 0 \\ 0 & 0 & 1 \end{bmatrix}$$

となる。

パラメータ  $(a, c, d, \alpha; b, \beta)$  を用いると (2) の解は

$$\begin{aligned} x(t) &= 2c + a \cos(nt + \alpha) \\ y(t) &= d - 3nct - 2a \sin(nt + \alpha) \\ z(t) &= b \cos(nt + \beta) \end{aligned} \quad (4)$$

と表わすことができる。(3)の解を  $\gamma^H = (a, c, d, \alpha; b, \beta)$  と表わす。 $c=0$  のときこの解は周期軌道となり、 $\gamma^H = (a, d; b)$  と表わす。フィードバック制御によるフォーメーション形成問題とは、(3)の解を与えられた周期軌道  $\gamma_f^H = (a_f, d_f; b_f)$  に漸近的に追従させることである。このときの評価関数は制御に使う推力の絶対積分であり、これは消費燃料に比例する。

## 3 軌道面内運動

軌道面内運動のシステムは

$$\dot{\mathbf{x}} = \begin{bmatrix} 0 & 0 & 1 & 0 \\ 0 & 0 & 0 & 1 \\ 3n^2 & 0 & 0 & 2n \\ 0 & 0 & -2n & 0 \end{bmatrix} \mathbf{x} + \begin{bmatrix} 0 & 0 \\ 0 & 0 \\ 1 & 0 \\ 0 & 1 \end{bmatrix} \mathbf{u} \quad (5)$$

となる。このシステムの可制御性行列の階数は4であり可制御である。 $u_y$  のみの1入力ときは、制御行列は  $b_y = [0 \ 0 \ 0 \ 1]^T$  となり可制御である。 $u_x$  のみの1入力ときは、 $b_x = [0 \ 0 \ 1 \ 0]^T$  となり可制御性行列の階数は3であり不可制御となる。よって1入力の面内運動の可制御システムは

$$\dot{\mathbf{x}} = \begin{bmatrix} 0 & 0 & 1 & 0 \\ 0 & 0 & 0 & 1 \\ 3n^2 & 0 & 0 & 2n \\ 0 & 0 & -2n & 0 \end{bmatrix} \mathbf{x} + \begin{bmatrix} 0 \\ 0 \\ 0 \\ 1 \end{bmatrix} \mathbf{u} \quad (6)$$

となる。

## 4 フォーメーション問題の解

### 4.1 リッカチ方程式による解

HCW システム (4) に対して目標軌道  $\gamma_f^H = (a_f, d_f; b_f)$  が与えられたとする。このとき軌道上に仮想の衛星をおき、その方程式を

$$\dot{\mathbf{x}}_f = \mathbf{A}\mathbf{x}_f, \quad \mathbf{x}_f(0) = \mathbf{x}_{f0} \quad (7)$$

とおく. このとき軌道の誤差  $e = x - x_f$  は

$$\dot{e} = Ae + Bu, e(0) = e_0 \quad (8)$$

となる. 目標軌道に追従させるためにはシステム (7) を安定化すればよい. 最適レギュレータのリッカチ方程式

$$A^T X + XA + Q - XBR^{-1}B^T X = 0 \quad (9)$$

より, 安定化フィードバック

$$u = -R^{-1}B^T X e = -K e \quad (10)$$

を求める. リッカチ方程式の解は

$$X = \text{diag}(X_1, X_2) \quad (11)$$

となる. また, この時のフィードバックゲイン  $K$  は

$$K = \text{diag}(K_1, K_2) \quad (12)$$

となる.  $(A, B)$  が可制御であるので,  $(\sqrt{Q}, A)$  が可検出ならば (9) は唯一の半正定解で (10) が安定化フィードバックとなる解をもつ. このフィードバックの性能はその大きさの積分すなわちその  $L_1$ -ノルムにより評価する. [2]

#### 4.2 軌道面内運動のシミュレーション

$Q$  と  $R$  が相対関係であるので,  $Q = 10^{-7}I_6$  で固定し,  $R = 10^r I_3$  とし,  $r$  を大きくすることで  $R$  の値を変化させる. また, その時の初期軌道を  $a=50$  とし, 目標軌道を  $a=20$  とする. そのシミュレーション結果を図 2, 図 3 に示す.

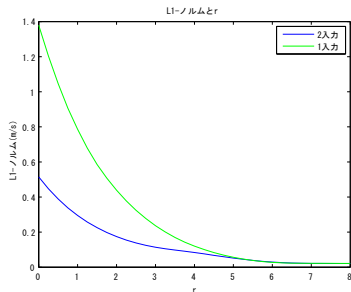


図 2  $L_1$ -ノルムと  $r$

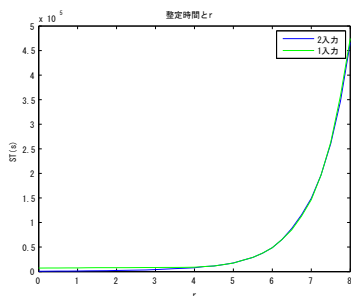


図 3  $ST$  と  $r$

面内運動のシステム (5),(6) を使い, 2 入力と 1 入力での違いを調べた. 初期軌道から目標軌道に収束する周期を 3

周期, 10 周期で設計をし, その時の  $L_1$ -ノルムの変化と軌道の様子をシミュレーションした. さらに, リッカチ方程式の解  $X_1$  とフィードバックゲイン  $K_1$  の値を求めた. はじめに  $L_1$ -ノルムと整定時間のグラフを図 4 に示す.

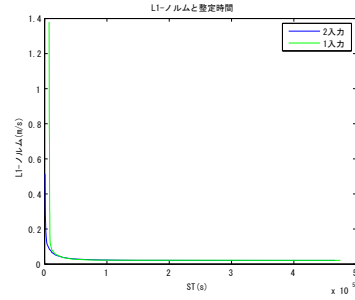


図 4  $L_1$ -ノルムと整定時間

#### 4.3 軌道面外運動

(2) より  $z$  は  $x, y$  に関わらず, 独立している. よって, 2 入力と 3 入力の違いはない. シミュレーション結果は図 5 に示す.

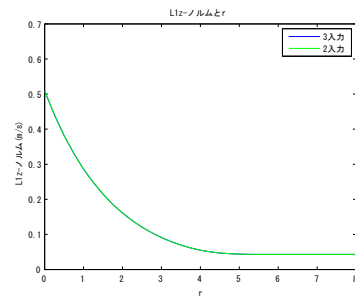


図 5  $L_1$ -ノルムと  $r$

#### 4.4 シミュレーション結果

3 周期, 10 周期の時のシミュレーション結果を図 6~13 に示す. また, その時の  $X, K$  の値も示した. この時,  $r$  の値は, 3 周期の時  $r = 5.25$ , 10 周期の時  $r = 6.75$  である.

2 入力 3 周期の  $R$  と  $L_1$ -ノルム (m/s) の値は

$$R = 10^{5.25} I_3 \quad (13)$$

$$L_1 = 4.50 \times 10^{-2} \quad (14)$$

となる. この時の  $L_1$ -ノルムのシミュレーション結果を図 6 に示す.  $r$  の値を用い, リッカチ方程式を計算した時の解は

$$X_1 = \begin{bmatrix} 2.00e-3 & -2.48e-4 & 5.98e-1 & 6.88e-1 \\ -2.48e-4 & 1.62e-4 & -1.32e-1 & -1.58e-2 \\ 5.98e-1 & -1.32e-1 & 267 & 148 \\ 6.88e-1 & -1.58e-2 & 148 & 303 \end{bmatrix}$$

$$X_2 = \begin{bmatrix} 1.68e-4 & 3.63e-2 \\ 3.63e-2 & 114 \end{bmatrix}$$

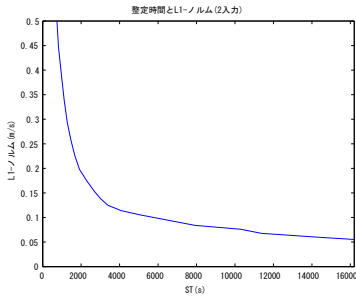


図 6 整定時間 3 周期以内の  $L_1$ -ノルム (2 入力)

$$K_1 = \begin{bmatrix} 3.36e-6 & -7.45e-7 & 1.50e-3 & 8.35e-4 \\ 3.87e-6 & -8.88e-8 & 8.35e-4 & 1.70e-3 \end{bmatrix}$$

$$K_2 = \begin{bmatrix} 2.04e-7 & 6.39e-4 \end{bmatrix}$$

3 周期のシミュレーション (2 入力) の結果を図 7 に示す。

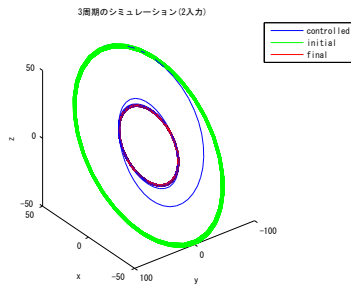


図 7 3 周期のシミュレーション (2 入力)

1 入力 3 周期の  $R$  と  $L_1$ -ノルム (m/s) の値は

$$R = 10^{5.25} I_3 \quad (15)$$

$$L_1 = 4.66 \times 10^{-2} \quad (16)$$

となる。この時の  $L_1$ -ノルムのシミュレーション結果を図 8 に示す。  $r$  の値を用い、リッカチ方程式を計算した時の

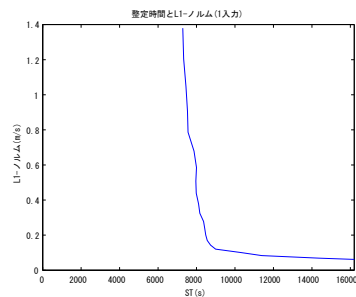


図 8 整定時間 3 周期以内の  $L_1$ -ノルム (1 入力)

解は

$$X_1 = \begin{bmatrix} 4.34e-3 & -6.26e-4 & 1.50 & 1.44 \\ -6.26e-4 & 2.25e-4 & -2.82e-1 & -1.33e-1 \\ 1.50 & -2.82e-1 & 627 & 433 \\ 1.44 & -1.33e-1 & 433 & 548 \end{bmatrix}$$

$$X_2 = \begin{bmatrix} 1.68e-4 & 3.63e-2 \\ 3.63e-2 & 1.14e+2 \end{bmatrix}$$

$$K_1 = \begin{bmatrix} 8.08e-6 & -7.50e-7 & 2.43e-3 & 3.08e-3 \end{bmatrix}$$

$$K_2 = \begin{bmatrix} 2.04e-7 & 6.39e-4 \end{bmatrix}$$

3 周期のシミュレーション (1 入力) の結果を図 9 に示す。

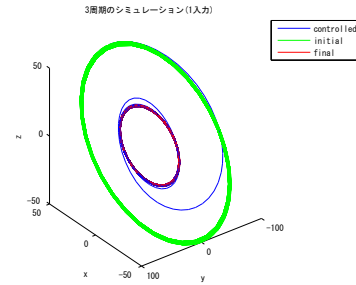


図 9 3 周期のシミュレーション (1 入力)

2 入力 10 周期の  $R$  と  $L_1$ -ノルム (m/s) の値は

$$R = 10^{6.75} I_3 \quad (17)$$

$$L_1 = 2.24 \times 10^{-2} \quad (18)$$

となる。この時の  $L_1$ -ノルムのシミュレーション結果を図 10 に示す。  $r$  の値を用い、リッカチ方程式を計算した時の

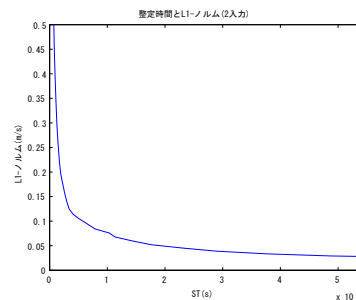


図 10 整定時間 10 周期以内の  $L_1$ -ノルム (2 入力)

解は

$$X_1 = \begin{bmatrix} 3.19e-2 & -1.64e-3 & 5.22 & 1.41e+1 \\ -1.64e-3 & 2.82e-4 & -4.90e-1 & -5.67e-1 \\ 5.22 & -4.90e-1 & 1.70e+3 & 2.04e+3 \\ 1.41e+1 & -5.67e-1 & 2.04e+3 & 6.42e+3 \end{bmatrix}$$

$$X_2 = \begin{bmatrix} 8.50e-4 & 3.91e-2 \\ 3.91e-2 & 6.63e+2 \end{bmatrix}$$

$$K_2 = \begin{bmatrix} 6.96e-9 & 1.18e-4 \end{bmatrix}$$

$$K_1 = \begin{bmatrix} 9.29e-7 & -8.72e-8 & 3.03e-4 & 3.62e-4 \\ 2.50e-6 & -1.01e-7 & 3.62e-4 & 1.14e-3 \end{bmatrix}$$

$$K_2 = \begin{bmatrix} 6.96e-9 & 1.18e-4 \end{bmatrix}$$

10 周期のシミュレーション (2 入力) の結果を図 11 に示す.

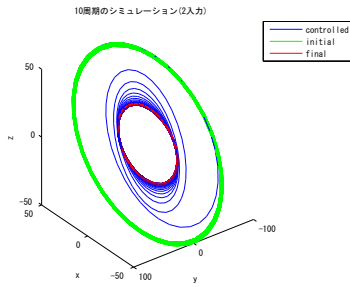


図 11 10 周期のシミュレーション (2 入力)

1 入力 10 周期の  $R$  と  $L_1$ -ノルム (m/s) の値は

$$R = 10^{6.75} I_3 \quad (19)$$

$$L_1 = 2.25 \times 10^{-2} \quad (20)$$

となる. この時の  $L_1$ -ノルムのシミュレーション結果を図 12 に示す.

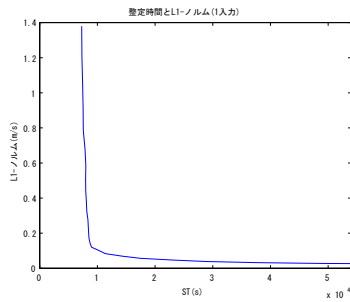


図 12 整定時間 10 周期以内の  $L_1$ -ノルム (1 入力)

$r$  の値を用い, リッカチ方程式を計算した時の解は

$$X_1 = \begin{bmatrix} 3.90e-2 & -2.06e-3 & 6.89 & 1.72e+1 \\ -2.06e-3 & 3.11e-4 & -6.01e-1 & -7.50e-1 \\ 6.89 & -6.01e-4 & 2.18 & 2.75 \\ 1.72e+1 & -7.50e-1 & 2.75e+3 & 7.84e+3 \end{bmatrix}$$

$$X_2 = \begin{bmatrix} 8.50e-4 & 3.91e-2 \\ 3.91e-2 & 6.63e+2 \end{bmatrix}$$

$$K_1 = \begin{bmatrix} 3.06e-6 & -1.33e-7 & 4.90e-4 & 1.39e-3 \end{bmatrix}$$

10 周期のシミュレーション (1 入力) の結果を図 13 に示す.

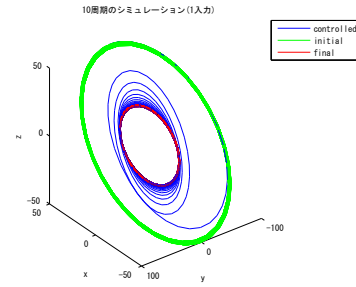


図 13 10 周期のシミュレーション (1 入力)

## 5 おわりに

本研究では, 円軌道上の主衛星とその近傍の従衛星の相対運動に対して 2 入力と 3 入力でのどのくらい違いがあるかを調べた.

2 入力と 3 入力では面内運動に違いが出るため,  $L_1$ -ノルムで燃費の良さを見た. リッカチ方程式の状態に関する重み  $Q$  は固定し, 入力に関する重み  $R$  を上げることで, HCW システムではフィードバックの  $L_1$  ノルムは単調に減少した.

また, 整定時間を指定してシミュレーションを行った結果, ほとんど違いがなく, 燃費もさほど変わらないため, 2 入力の制御でも, 3 入力の制御と同等の制御ができる.

3 入力の制御よりも 2 入力の制御を用いた方が衛星の構造上楽になる.

例えば, 衛星のエンジンが少なくて済むので, 衛星にかかる負担が減り, コストも少なくなる.

なので, 同等の制御を行えるのなら, 2 入力の制御を用いるべきである.

## 参考文献

- [1] A. Ichikawa:Recent Developments in Formation Flying,Lecture Notes ver.1, 2010.
- [2] M. Shibata and A. Ichikawa:Orbital Rendezvous and Flyaround Based on Null controllability with Vanishing Energy, Journal of Guidance, Control, and Dynamics, Vol. 30, No. 4, pp. 934-945, 2007.